В. Г. ПАНАДЖЯН

ОЦЕНКА УГЛОВЫХ РАЗМЕРОВ И ИНТЕНСИВНОСТИ МЕРЦАЮЩЕГО КОМПОНЕНТА РАДИОИСТОЧНИКА 3С 161

Первые данные о наличии компонента малых угловых размеров в радиоисточнике 3С 161 приведены в [1], где на частоте 178 Мгу (1 = 1,7 м) методом мерцаний оцениваются угловые размеры мерцающего компонента. Позднее, с помощью радиоинтерферометра, имеющего разрешающую силу 0.4, на частотах 169 и 408 Мгу были оценены угловые размеры и интенсивности радиоизлучения компонента малых угловых размеров источника 3С 161. Было показано, что компонент малых угловых размеров источника 3С 161 имеет угловые размеры приблизительно 0.5. На частоте 169 Мгу интенсивность [радиоизлучения от источника малых угловых размеров составляет 10% общей интенсивности радиоизлучения источника 3С 161, а на частоте 408 Мгу — 50% [2, 3].

Ниже приводятся результаты наблюдений мерцаний на неоднородностях межпланетной плазмы радиоисточника 3С 161, выполненных на частоте 60 *Мгц*. Анализ полученных данных позволяет оценить угловые размеры и интенсивность мерцающего компонента 3С 161.

Наблюдения мерцаний радиоисточника 3С 161 на неоднородностях межпланетной плазмы проводились на линии Восток — Запад Диапазонного Крестообразного радиотелескопа Физического института АН СССР (ДКР — 1000) с февраля по август 1968 г. на частоте 60 Мгу с помощью радиометра, изготовленного в Бюраканской астрофизической обсерватории АН АрмССР. Постоянная времени выходного устройства равна приблизительно 0,5 сек. Из полученных записей определены

мера мерцаний по максимумам флуктуаций интенсивности $f = \frac{ \overline{|\Delta I_{\max}|}}{I_0}$ и

средний квазипериод мерцаний \overline{T} (средний период мерцаний за данную запись). Зависимость меры мерцаний f от углового расстояния источника от Солнца $\mathfrak P$ приведена на рис. 1, где точки означают меру мерцаний f за данную запись, а стрелками вниз указаны дни, для которых мерцания не были обнаружены с точностью, соответствующей

данной ординате. Интересно заметить, что имеется большой разброс меры мерцаний на больших угловых расстояниях от Солнца ($\mathfrak{P} > 60^\circ$), а на сравнительно близких расстояниях ($\mathfrak{P} > 60^\circ$) разброс меры мерцаний небольшой. Кривая $\mathfrak{P} = \mathfrak{P} =$

среднеквадратичной мерой мерцаний $F = \left(\frac{\overline{\Delta F}}{I_0^2}\right)$ соотношением $F = 0.5f^3$

[5] и на больших угловых расстояниях от Солнца, где набег фазы на неоднородностях межпланетной плазмы $\bar{\Delta s}^2 < 1$, мера мерцаний точечного радиоисточника 3С 119 прямо пропорциональна длине волны: $g(\lambda) \sim \lambda$.

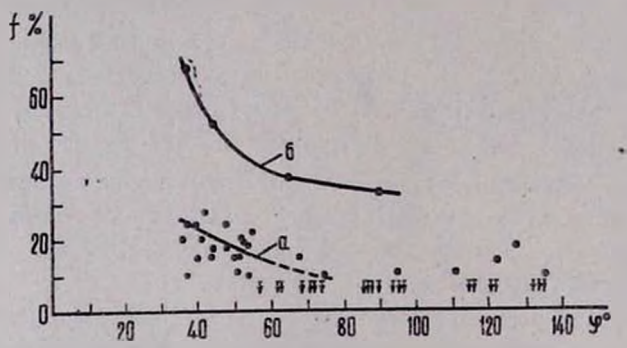


Рис. 1. Зависимость меры мерцаний f радионсточника 3C 161 от углового расстояния от Солица ϕ ,

а — среднее значение меры мерцаний $f(\varphi)$,

6 — среднее значение меры мерцаний g(z) точечного радиоисточника 3С 119 [4], пересчитанное на 60 M_{23} .

նկ. 1. 3C 161 ռադիսազբյուրի առկայծումների չափի կախումը Աբևից ունեցած գ անկյունային ճեռավորությունից,

a) 3C 161 ռադիսաղբյուրի առկայծումների չափի միջին արժեքը՝ f (p)

6) 3C 119 կետային ռադիոաղբյուրի վերահաշվարկած 60 Մոց հաճախության վրա առկայծումների չափի միջին արժեթը՝ g(գ).

На рис. 2 приведена гистограмма средних квазипериодов мерцаний \overline{T} , из которой видно, что наиболее вероятное значение среднего квазипериода мерцаний радиоисточника 3C 161 равно 3,5 сех.

В случае тонкого фазового экрана и набега фазы на неоднородностях $\Delta s^2 < 1$ мера мерцаний неточечного источника уменьшается за счет замазывания дифракционной картины на Земле, а квазипериод мерцаний увеличивается. Оценим угловые размеры мерцающего компо-

нента источника 3С 161 по сдвигу гистограмм средних квазипериодов мерцаний. Для этого сначала определим наиболее вероятное значение среднего квазипериода мерцаний точечного источника \overline{T}_0 , которое в случае гауссовского вида автокорреляционной функции дифракционной картины на Земле связано с радиусом корреляции дифракционной картины l_0 соотношением $\overline{T}_0 = \frac{2_16}{v}[6]$. При $l_0 = 280$ км [7], $v = 235 \frac{\kappa M}{cek}$

[8], $\overline{T}_0=3,15$ сек. По известным значениям наиболее вероятных значений средних квазипериодов мерцаний мерцающего компонента $(\overline{T}_0=3,5$ сек) и точечного источника $(\overline{T}_0=3,15$ сек) определяем угловые размеры мерцающего компонента 3C 161, которые в предположении симметричного источника с гауссовским распределением радиояркости на уровне e^{-1} , согласно формуле (6) [9], равны 0.3.

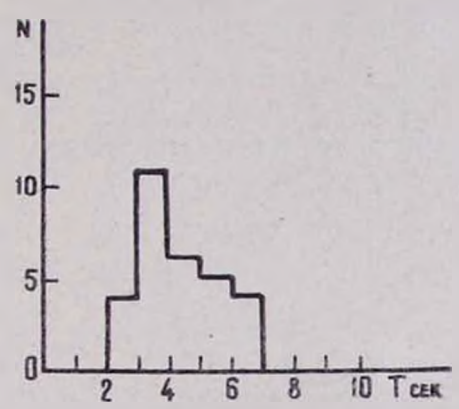


Рис. 2. Гистограмма средних квазипернодов мерцаний радиоисточника 3C 161, v = 60 Mrg.

նկ. 2. 3C 161 ռադիոաղբյուրի առկայծումների միջին թվագիպարբերությունների ճիստոգրամը։

Теперь определим интенсивность мерцающего компонента источника 3C 161. На больших угловых расстояниях от Солнца, где возмущение фазы волны на неднородностях $\overline{\Delta_s^2} < 1$

$$\frac{J_{3C 161M}}{J_{3C 161}} = \frac{\overline{f'}}{\overline{g}},\tag{1}$$

где $I_{3C\ 161}$ и $I_{3C\ 161M}$ — интенсивности радиоисточника 3C 161 и его мерцающего компонента соответственно, $\overline{f'}=k\overline{f}$ — истинная мера мерцаний источника 3C 161, а $k=\frac{\overline{T}}{\overline{T}_0}$. В случае $\overline{T}_0=3,15$ сек, $\overline{T}=3,5$ сек k=1,15.

На угловом расстоянии от Солнца $\phi = 55^\circ$ из рис. 1 находим

$$\frac{\bar{g} = 40^{\circ}/_{\circ}}{\bar{f} = 15^{\circ}/_{\circ}}$$
 (2)

Учитывая (1) и (2) для относительной интенсивности радиоизлучения мерцающего компонента, получаем

$$\left(\frac{I_{3C \ 161M}}{I_{3C \ 161}}\right)_{\lambda=60 \ Mz\mu} = 43^{0}/_{0}. \tag{3}$$

Из-за помех регулярные наблюдения на частоте 40 Miu не проводились. Но 6.VIII 1968 г. удалось получить одновременные записи на частотах 60 и 40 Miu (на 60 Miu f=14%, T=2.6 сех, а на 40 Miu оцениваем относительную интенсивность радиоизлучения мердающего компонента на этой частоте (конечно, с небольшой точностью):

$$\left(\frac{I_{3C \ 161 M}}{I_{3C \ 161}}\right)_{v=40.Mzu} = 40^{0}/_{0}.$$
 (4)

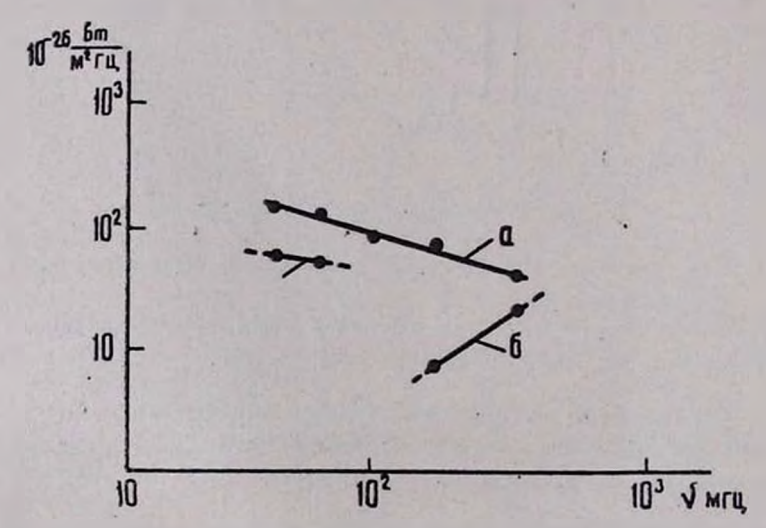


Рис. 3. а — спектр радиоисточника 3С 161 по [10, 11, 12, 13],

6— споятр радиоисточника малых угловых размеров в интервале частот 169—408 Миц по [2, 12, 13], находящегося в 3С 161.

в — полученный вами спектр находящегося в 3С 161 мерцающего радиоисточника в интервале частот $40 \div 60~M_{12}$.

նկ. 3. a) 3C 161 ռադիոաղբյուրի սպեկարն ըստ [10, 11, 12, 13]

6) 3C 161 ռադիսաղբյուրում գանվող անկյունային փոթր չափեր ունեցող ռադիսադբյուրի սպեկարն ըստ [2, 12, 13] ճանախությունների 169 — 408 Մեց ճատվածում,

») 3C 161 ռադիսաղբյուրում գանվող առկայծող ռադիսաղբյուրի մեր կողմից ստացված սպեկտրը 40 — 60 Մնց նատվածում։ Используя значения интенсивностей источника 3С 161 на частотах 60 *Миц* [10] и 40 *Миц* [12], а также (4) и (5), для интенсивности мерцающего компонента находим

$$(I_{3C 161M})_{v=60Mzu} = 50 \cdot 10^{-16} \frac{sm}{m^2 \cdot vu}$$

$$(I_{3C 161M})_{v=40Mzu} = 60 \cdot 10^{-16} \frac{sm}{m^2 \cdot vu}$$
(5)

Из (5) спектральный индекс источника 3С 161 М в интервале частот $40 + 60 \, Min$ получается равным $\alpha_{\rm SC \, 161M} = 0.42 \, (I \sim v^{-1})$.

На рис. З приведены спектры источников 3С 161, построенные по [10, 11, 12, 13], спектр источника малых угловых размеров в 3С 161 по данным [2, 11, 14] и спектр мерцающего компонента радиоисточника 3С 161. Как видно из рисунка 3, полученный нами спектр (кривая 6) резко отличается от спектра источника малых угловых размеров (кривая в). Поэтому надо полагать, что эти спектры относятся к разным компонентам и что, следовательно, в радиоисточнике 3С 161 имеются два компонента с угловыми размерами приблизительно в 0°,3. Кроме того, для согласования полученных результатов с имеющимися данными необходимо, чтобы спектр мерцающего компонента на частотах, больших 60 Мги, имел большую крутизну, чем «сстата» = 0,42.

15 ноября 1968 г.

4. 9. **4ULUSSUL**

3C 161 ՌԱԴԻՈԱՂԲՑՈՒՐԻ ԱՌԿԱՑԾՈՂ ԲԱՂԱԴՐԻՉԻ ԱՆԿՑՈՒՆԱՑԻՆ ՉԱՓԵՐԻ ԵՎ ԻՆՑԵՆՍԻՎՈՒԹՅԱՆ ԳՆԱՀԱՏՈՒՄԸ

3C161 ռադիոաղթյուրի միջմոլորակային պլազմայի անհամասհոռ թյունների վրա առկայծումների բնութագրերից որոշված են նրա առկայծող բազադրիչի անկլունային չափերը 60 Մհց հաճախության վրա և ինտենսիվությունները 60 և 40 Մհց հաճախությունների վրա։ Ինտենսիվության գաուսայան բաշխումով շրջանային սիմետրիկ մոդելի դեպքում առկայժող բաղադրիչի անկլունային չափերը հավասար են 0",3, իսկ նրա սպեկտրալ ինդերը հաճախությունների 40 — 60 Մհց տիրույթում հավասար է 0.42

V. G. PANAJIAN

THE ESTIMATION OF THE ANGULAR DIMENSIONS AND INTENSITIES OF SCINTILLATING COMPONENT OF RADIO SOURCE 3C 161

Summary

The experimental characteristics of scientillations at 60 Mhz frequency of the radio source 3C 161 on the interplanetary plasma irregularities are presented. The angular dimentions of the scientillating component of radio source 3C 161 is about 0.3 and its flux density is 50 flux units at 60 Mhz and 60 flux units at 40 Mhz.

ЛИТЕРАТУРА

- 1. A. Hewish et al., Nature, 203, 1215, 1964.
- 2. B. Anderson et al., Nature, 205, 375, 1965.
- 3. B. Anderson, W. Donaldson, M. N., 137, 81, 1967.
- 4. L. T. Little, A. Hewish, M. N., 138, 394, 1967.
- В. В. Виткевич, Преприят ФИАН, 1966.
- 6. J. Ratcliffe, Rept. Progr. Phys., 19, 188, 1956.
- 7. В. Г. Панаджян, Астрофизика, 5, 291, 1969.
- 8. В. В. Витхевич, В. И. Власов, Преприят ФИАН, 1966.
- 9. В. Г. Панаджян, Сообщения Бюраканской обсерваторям, 41, 1969.
- 10. А. М. Асланян и др., Астрофизика, 4, 129, 1968.
- 11. В. С. Артиох и др., Астр. ж., 45, 712, 1968.
- 12. R. C. Conway, K. I. Kellermann, R. J. Long, M. N., 125, 261, 1963.
- 13. R. J. Long, M. A. Smitt et al., M. N., 134, 371, 1966.
- 14. J. Kennett, K. I. Kellermann, Ap. J., 140, 969, 1964.